

沉积。VTQ 技术可定量评估组织弹性特征,但因结节病理改变的复杂性及多样性,使部分结节误诊。两种技术联合应用可提高对甲状腺结节的诊断效能,在其鉴别诊断中具有一定的临床应用价值。

参考文献

- [1] Choi WJ, Park JS, Kim KG, et al. Computerized analysis of calcification of thyroid nodules as visualized by ultrasonography [J]. Eur J Radiol, 2015, 84(10):1949-1953.
- [2] Xu SY, Zhan WW, Wang WH. Evaluation of thyroid nodules by a scoring and categorizing method based on sonographic features [J]. J Ultrasound Med, 2015, 34(12):2179-2185.
- [3] Machado P, Eisenbrey JR, Cavanaugh B, et al. Microcalcifications versus artifacts: initial evaluation of a new ultrasound image processing technique to identify breast microcalcifications in a screening population [J]. Ultrasound Med Biol, 2014, 40(9):2321-2324.
- [4] 曹赤颖, 敖梦, 王志刚. 声辐射力成像法联合萤火虫技术在甲状腺结节诊断中的价值[J]. 中国超声医学杂志, 2015, 31(5):391-393.
- [5] 顾继英, 张会萍, 白敏, 等. 声辐射力脉冲成像对甲状腺小结节的诊断价值[J]. 临床超声医学杂志, 2015, 17(5):293-296.
- [6] Ciledag N, Arda K, Aribas BK, et al. The utility of ultrasound elastography and MicroPure imaging in the differentiation of benign and malignant thyroid nodules. Am J Roentgenol, 2012, 198(3):244-249.
- [7] Zhang YF, Xu HX, He Y, et al. Virtual touch tissue quantification of acoustic radiation force impulse: a new ultrasound elastic imaging in the diagnosis of thyroid nodules. PLoS One, 2012, 7(11):49094.
- [8] 吕珂, 姜玉新, 张缙熙, 等. 甲状腺结节的超声诊断研究[J]. 中华超声影像学杂志, 2003, 12(5):285-288.
- [9] 崔可飞, 李惠翔, 徐柯, 等. 剪切波弹性成像联合“萤火虫”成像技术诊断甲状腺结节的价值[J]. 中国临床医学影像杂志, 2015, 26(11):772-775.

(收稿日期:2016-10-14)

· 病例报道 ·

Ultrasonic manifestations of primary non-hodgkin lymphoma: a case report 肌肉原发非霍奇金淋巴瘤超声表现 1 例

田野 邱 迺

[中图分类号] R445.1

[文献标识码] B

患者女, 70 岁, 因发现左大腿下段后侧包块 2 个月来我院就诊。外科检查: 左下肢无水肿, 皮肤隆起不明显, 左大腿中下段后侧扪及皮下包块, 质地韧, 不易推动, 边界较清楚, 压痛轻微, 未扪及搏动感, 皮温无明显增高。X 线检查未见明显异常。超声检查: 左侧大腿股二头肌未见明显形态改变, 其中下段肌层内见大小约 42 mm×20 mm×19 mm 的团块状弱回声, 边界较清楚, 形态较规则, 内部血流信号丰富(图 1)。超声提示: 左侧大腿股二头肌肌层实性占位, 恶性肿瘤可能。遂行左大腿软组织肿瘤扩大切除术, 术中见左大腿下段股二头肌内侧缘肌层内一灰白色鱼肉状肿块, 边界清楚, 与周围肌肉组织粘连。病理诊断: 左

大腿非霍奇金淋巴瘤, 弥漫大 B 淋巴瘤。

讨论: 原发于骨骼肌肉的非霍奇金淋巴瘤十分罕见, 其临床表现为局部胀痛、全身不适感, 亦可伴有消瘦、发热, 少数患者可无自觉症状。此病一般以长骨肌束为中心向端侧扩张呈梭形, 病变区域可有无痛或痛性团块, 部分可见向邻近骨膜侵犯。引流区淋巴结转移少见, 抗感染治疗通常无效。肌肉非霍奇金淋巴瘤影像学表现文献较少, 有报道^[1]显示其影像学特点为受累肌肉弥漫性肿大, 大体形态仍可辨别, 周边筋膜和脂肪间隙相对较少受累。CT/MRI 增强图像显示肿瘤呈中度强化, 比较均匀, 提示肿瘤的血供较丰富, 坏死少见^[2]。本例超声表现基本符合上述特点, 股二头肌受累, 但肌肉形态大体未改变, 肿瘤内部回声为较均匀弱回声, 未见确切坏死表现, 内部血流信号丰富。本病变应注意与肌肉内纤维肉瘤、横纹肌肉瘤等鉴别。因本病较为罕见, 了解本病的临床及超声特征有利于减少漏误诊。

参考文献

- [1] Chew FS, Schellingerout D, Keel SB. Primary lymphoma of skeletal muscle [J]. Am J Roentgenol, 1999, 172(5):1370.
- [2] Eustace S, Winalski CS, McGowen A, et al. Skeletal muscle lymphoma: observations at MR imaging [J]. Skeletal Radiol, 1996, 25(5):425-430.

(收稿日期:2017-01-13)

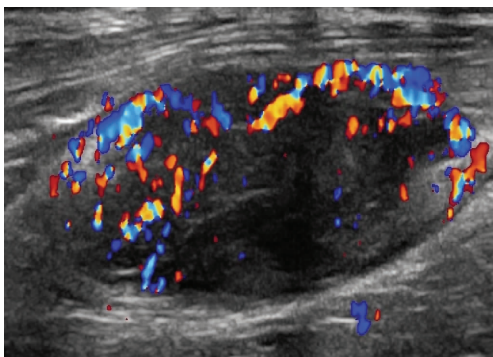


图 1 左侧大腿股二头肌中下段肌内团块彩色血流图